

الملخص

يتناول هذا البحث التنبؤ عن العملية العشوائية المكانية غير المراوحة بواسطة اسلوب الكوكريكنك الشامل Universal Cokriging متعدد المتغيرات وهذا الاسلوب يفيد تعليم لطريقة الكريكنك لأنه يعتمد على بيانات المتغير الأولي اضافة الى متغيرات اخرى والتي تدعى المتغيرات الثانوية ، وهذه المتغيرات لها تأثير هام على عملية التنبؤ.

تم الحصول على صيغ المعادلات النهاية للتنبؤ بواسطة الاشتراق الرياضي للكوكريكنك الشامل وبصيغة المصفوفات والوصول الى نتائج مطابقة الى نتائج نظام المعادلات المعروف. وتتلخص المعادلات التي تم الحصول عليها في صيغة كل من المتباين المكانى والأوزان المكانية وتبين خطأ التنبؤ. كذلك تم تطبيق نظام الكوكريكنك الشامل على بيانات مكانية حقيقية لمياه جوفية تتضمن مستويات ارتفاع الماء في الابار كمتغير اولي وعمق البئر كمتغير ثانوي الموجودة في منطقة وانة في محافظة نينوى / شمال العراق ، وكانت النتائج مشجعة جدا وذلك لتقارب القيم التنبؤية من القيم الحقيقة المعلومة القياس. ثم الحصول على ثمانية تنبؤات مكانية لمستوى ارتفاع الماء في الابار في المنطقة قيد الدراسة مع حساب تباين الكوكريكنك الشامل لها. جميع الخوارزميات تمت برمجتها بواسطة نظام Matlab اصدار

7.12

Universal Cokriging of Non stationary Spatial Stochastic Process

with an Application to Wells Data in Wana

District\ North of Iraq

Abstract

This paper is concerned with the prediction of nonstationary spatial stochastic process by the multivariate approach which is known as universal cokriging.

* أستاذ مساعد / قسم الرياضيات / كلية التربية / جامعة الموصل

**باحث/ مديرية تربية محافظة نينوى

This approach is a generalization of kriging because universal cokriging depends on the underlying variable as well as other variables named as the secondary variables. These variables have a considerable effect on the process of prediction.

In this work we obtained the final formulas of the prediction equations system through the derivation of universal cokriging equations in the form of matrices. The obtained universal cokriging equations are quiet similar to the known equations system, and summarise clearly the spatial weights and prediction error variance. The obtained equations system is applied to a real data which represent two variables which are elevation of water(primary variable) and depth of well(secondary variable)in Wana district in Ninavah governorate in north of Iraq. The results obtained are very encouraging, very near to the real values, and with minimum cokriging variance. We compute eight spatial predictions together with error variance of prediction. All algorithms are programmed by Matlab_7.12 package.

1- مقدمة

تتميز الظواهر المكانية بكونها ذات خصائص مشتركة وأغلب الظواهر تتضمن أكثر من متغير واحد يأخذ بنظر الاعتبار عند إجراء عملية التنبؤ، وهذا يتطلب تعليم التنبؤ عن العملية العشوائية المكانية بمتغير واحد (الكرينك kriging) إلى تتبُّع عدة متغيرات (الكوكرىنك المشترك Cokriging)، ففي الكوكرىنك كل ديننا المتغير الأولي Primary Variable التنبؤ عنه اضافة إلى المتغيرات الثانوية Secondary Variables المساعدة في تحسين قيمة التنبؤ والتي من الأفضل ان لا نهملها لأنها تؤثر على قيمة التنبؤ. أنظر، Chiles and Delfiner (1999).

إن اسلوب الكوكرىنك الشامل Universal Cokriging هو أحد أساليب التنبؤ المشترك ويستعمل عندما يكون التوقع غير ثابتاً وغير معلوماً إذ انه يعتمد على الموقع في المنطقة قيد الدراسة وذلك بسبب وجود الاتجاه.

تُعد $\{Z_\alpha(x) : x \in D \subseteq \mathbb{R}^p, p = 1, 2, 3, \dots, \alpha = 1, 2, \dots, \eta\}$ دالة عشوائية مكانية ذات η من المتغيرات العشوائية المكانية في المنطقة قيد الدراسة D .

$$Z_\alpha(x) = (Z_\alpha(x_1) Z_\alpha(x_2) Z_\alpha(x_3) \dots \dots \dots Z_\alpha(x_{r_\alpha}))', \forall \alpha = 1, 2, \dots, \eta$$

يدعى $Z_1(x)$ بالمتغير الأولي Primary Variable وتدعى (x) لكل Z_α $\alpha = 2, 3, \dots, \eta$ بالمتغيرات الثانوية Secondary Variables.

وعليه يكون متوجه الدوال العشوائية Z ذا البعد r_α كالاتي:

$$Z = \begin{pmatrix} Z_1(x_1)Z_1(x_2) \dots Z_1(x_{r_1}) & Z_2(x_1)Z_2(x_2) \dots Z_2(x_{r_2}) & \dots \\ \dots & Z_\eta(x_1)Z_\eta(x_2) \dots Z_\eta(x_{r_\eta}) \end{pmatrix}' \quad \dots \dots \dots (1)$$

انظر ، Webster (2007) . سيكون متوجه الأوزان Weights Vector (معاملات التطبيق)

المناظر لمتجه الدوال العشوائية بالشكل

$$\lambda = (\lambda_{11} \lambda_{12} \dots \lambda_{1r_1} \lambda_{21} \lambda_{22} \dots \lambda_{2r_2} \dots \dots \dots \lambda_{\eta 1} \lambda_{\eta 2} \dots \lambda_{\eta r_\eta})'$$

وإن متباً الكوكرينك الشامل عند الموقع $D \in X_0$ هو عبارة عن تركيب خطى يشمل جميع

المتغيرات ويرمز له $\hat{Z}_{uck}(x_0)$

$$\mathcal{Z}_{\text{uck}}(x_0) = \sum_{\alpha=1}^{\eta} \sum_{\varphi=1}^{r_\alpha} \lambda_{\alpha\varphi} \mathcal{Z}_\alpha(x_\varphi) = \sum_{\alpha=1}^{\eta} \lambda'_\alpha \mathcal{Z}_\alpha = \lambda' \mathcal{Z} \quad \dots \dots (2)$$

عند إجراء حسابات الكوكريلنك الشامل نحتاج الى حساب دالة شبه الفاريوكرام المقاطع Cross Semivariogram Function ويرمز لها $(h)_{\alpha\beta}^{\gamma}$ ومعرفة كما يأتي:

$$\hat{\gamma}_{\alpha\beta}(h) = \frac{1}{2} \frac{\sum_{\varphi=1}^{r(h)} \left((Z_\alpha(x_\varphi) - Z_\alpha(x_\varphi + h)) (Z_\beta(x_\omega) - Z_\beta(x_\omega + h)) \right)}{r(h)}$$

$$\forall \alpha, \beta = 1, 2, \dots, \eta \quad , \quad \varphi, \omega = 1, 2, \dots, r_\alpha \quad \dots \dots \dots (3)$$

انظر، (Memarsadeghi 2004) فهي معدل الاختلافات الموجودة بين المشاهدات المكانية التي تبعد عن بعضها البعض إزاحة h وأن (h) يمثل عدد أزواج المشاهدات ($x_\omega + h$) و $Z_\beta(x_\omega + h)$ و $Z_\alpha(x_\varphi)$ التي تفصل بينها إزاحة h .

انظر ، Diggle and Ribeiro (2007)

وفي حالة $\alpha = \beta$ أي أن $Z_\alpha(x) = Z_\beta(x)$ يكون حساب الفاريوكرام لنفس المتغير (كما في حالة الكرينك أي لدينا متغير واحد) وكما يأتي:

$$\hat{\gamma}_{\alpha\alpha}(h) = \hat{\gamma}_\alpha(h)$$

$$= \frac{1}{2} \frac{\sum_{\varphi=1}^{r(h)} \left((Z_\alpha(x_\varphi) - Z_\alpha(x_\varphi + h))^2 \right)}{r(h)} \dots \dots \dots (4)$$

. Chiles and Delfiner (1999) انظر،

Universal Cokriging

الشامل يكذا الكوكيز 2

إن التنبؤ عن العملية العشوائية المكانية غير المراوحة يعتمد على الاتجاه Drift في المنطقة قيد الدراسات وبهذا فإن الانموذج في الكوكريknk الشامل يكون كما يأتي $Z(x) = m(x) + \epsilon$

الكوكرينيك المشترك الشامل للعملية العشوائية المكانية غير المرادحة مع تطبيق على . . .

(x) حيث ان $m(x)$ هو التوقع في الموقع $x \in D \subseteq R^1, R^2, R^3$ و (x) هو مقدار الخطأ العشوائي ويتوقع يساوي 0 إن التوقع عند الموقع $x_\varphi \in D$ يكون كالتالي:

$$E[Z_\alpha(x_\varphi)] = m_\alpha(x_\varphi) = \sum_{\rho=1}^{r_\varphi} f_{\alpha\rho}^\rho(x_\varphi) y_{\alpha\rho}, \quad \forall \alpha = 1, 2, \dots, \eta, \varphi = 1, 2, \dots, r_\alpha$$

$$\begin{aligned} \in(x) &= (\in_1(x_1) \in_1(x_2) \dots \in_1(x_{r_1}) \in_2(x_1) \in_2(x_2) \dots \in_2(x_{r_2}) \dots \\ &\dots \in_\eta(x_1) \in_\eta(x_2) \dots \in_\eta(x_{r_\eta}))' \end{aligned}$$

حيث أن $f_{\alpha\rho}^\rho(x_\varphi)$ هي دوال معلومة تمثل احداثيات موقع المتغيرات مقدرة حسب طبيعة سطح الاتجاه (خطية ، تربيعية ، تكعيبية ، ...). وأن $y_{\alpha\rho}$ هي معلمات الاتجاه وتكون غير معلومة.

وبصورة عامة نأخذ التوقع للدالة العشوائية المكانية Z

$$\begin{aligned} E(Z) &= \begin{pmatrix} E(Z_1) \\ E(Z_2) \\ \vdots \\ E(Z_\eta) \end{pmatrix} = \begin{pmatrix} F_1 y_1 \\ F_2 y_2 \\ \vdots \\ F_\eta y_\eta \end{pmatrix} = \begin{pmatrix} F_1 & O_{12} & \dots & O_{1\eta} \\ O_{21} & F_2 & \dots & O_{2\eta} \\ \vdots & \ddots & \ddots & \vdots \\ O_{\eta 1} & O_{\eta 2} & \dots & F_\eta \end{pmatrix} \cdot \begin{pmatrix} y_1 \\ y_2 \\ \vdots \\ y_\eta \end{pmatrix} = Fy \\ \text{إذ إن } F &= \begin{pmatrix} F_1 & O_{12} & \dots & O_{1\eta} \\ O_{21} & F_2 & \dots & O_{2\eta} \\ \vdots & \ddots & \ddots & \vdots \\ O_{\eta 1} & O_{\eta 2} & \dots & F_\eta \end{pmatrix}, \quad y = \begin{pmatrix} y_1 \\ y_2 \\ \vdots \\ y_\eta \end{pmatrix} \end{aligned}$$

$$F_\alpha = \begin{bmatrix} f_{\alpha 1}^1 & f_{\alpha 1}^2 & \dots & f_{\alpha 1}^{\tau_\alpha} \\ f_{\alpha 2}^1 & f_{\alpha 2}^2 & \dots & f_{\alpha 2}^{\tau_\alpha} \\ \vdots & \vdots & \ddots & \vdots \\ f_{\alpha r_\alpha}^1 & f_{\alpha r_\alpha}^2 & \dots & f_{\alpha r_\alpha}^{\tau_\alpha} \end{bmatrix}, \quad y_\alpha = (y_{\alpha 1} y_{\alpha 2} \dots \dots \dots y_{\alpha \tau_\alpha})'$$

$$O_{\alpha\beta} = (0)_{(r_\alpha \times r_\beta)}$$

$$f_{\alpha\varphi}^1 = 1, \forall \alpha = 1, 2, \dots, \eta, \varphi = 1, 2, \dots, r_\alpha$$

هي (مصفوفة التصميم) مصفوفة احداثيات موقع $\alpha = 1, 2, \dots, \eta \forall F_\alpha$ وأن Z_α هو متوجه معلمات الاتجاه (غير معلومة) للمتغير y_α و (x) المتغير Z_α هي $O_{\alpha\beta}$ ، و $O_{\alpha\beta}$ هي مصفوفة صفرية وكذلك شرط عدم التحيز في الكوكرينيك الشامل هو

$$\lambda'_\alpha F_\alpha = \begin{cases} f'_1, & \alpha = 1 \\ 0'_{r_\alpha}, & \alpha \neq 1 \end{cases} \Rightarrow \lambda' F = f' \supseteq \sum_{\varphi=1}^{r_1} \lambda_{1\varphi} = 1, \sum_{\varphi=1}^{r_\alpha} \lambda_{\alpha\varphi} = 0 \quad \forall \alpha$$

$$\neq 1 \dots \dots (5)$$

إن شرط عدم التحيز في الكوكريلك الاعتيادي هو ان مجموع اوزان المتغير الاولى يساوي 1 ومجموع اوزان المتغيرات الثانوية تساوي 0 ، اما شرط عدم التحيز في الكوكريلك الشامل (معادلة (5)) فانه يتضمن ان يكون مجموع اوزان المتغير الاولى يساوي 1 ومجموع اوزان المتغيرات الثانوية تساوي 0 ، وهذا لعدم حاجة وجود الاحداثياتي مصفوفة التصميم لموقع المتغيرات η, \dots, η في الكوكريلك الاعتيادي بعكس الكوكريلك الشامل.

$$f = (f_1 f_2 \dots \dots \dots f_\eta)' = (1 \ f_{12} \dots f_{1\tau_1} 0_{21} 0_{22} \dots 0_{2\tau_2} \dots \dots 0_{\eta 1} 0_{\eta 2} \dots 0_{\eta \tau_\eta})'$$

$$E(Z_0) = f'_1 y_1 = f'y \quad , \quad E(\hat{Z}_0) = \lambda' E(Z) = \lambda' Fy = f'y$$

إذ إن f هو متوجه الاحداثيات عند الموضع x_0 لجميع المتغيرات $\alpha = 1, 2, \dots, \eta$. العگیدی (2012).

نبدأ باستقاق معادلات الكوكريلك الشامل وذلك بأخذنا التباين لخطأ التقدير $(Z_0 - \hat{Z})$

$$\text{Var}(Z_0 - \hat{Z}) = E(Z_0 - \lambda' Z)^2 = E((f'y + \epsilon(x_0)) - \lambda'(Fy + \epsilon))^2$$

$$= E\left(\epsilon(x_0) - \sum_{\alpha=1}^{\eta} \sum_{\varphi=1}^{r_\alpha} \lambda_{\alpha\varphi} \epsilon_\alpha(x_\varphi)\right)^2$$

$$\begin{aligned} &= \sum_{\alpha=1}^{\eta} \sum_{\varphi=1}^{r_\alpha} \lambda_{\alpha\varphi} E\left(\epsilon_\alpha(x_{r_\alpha}) - \epsilon(x_0)\right)^2 \\ &\quad - \left(\frac{1}{2}\right) \sum_{\alpha=1}^{\eta} \sum_{\beta=1}^{\eta} \sum_{\varphi=1}^{r_\alpha} \sum_{\omega=1}^{r_\beta} \lambda_{\alpha\varphi} \lambda_{\beta\omega} E\left(\epsilon_\alpha(x_\varphi) - \epsilon(x_\omega)\right)^2 \end{aligned}$$

انظر ، الياس (2008).

بما ان الظاهرة المكانية المدروسة غير مراوحة فإننا نقوم بعملية التتبؤ بواسطة دالة الفاريوكرام

$$2Y_{\alpha\varphi\beta\omega} = E\left(\epsilon(x_\varphi) - \epsilon(x_\omega)\right)^2 Y_{\alpha\varphi 0} = E\left(\epsilon_\alpha(x_{r_\alpha}) - \epsilon(x_0)\right)^2$$

$$E(\epsilon(x_0) - \lambda' \epsilon)^2 = 2 \sum_{\alpha=1}^{\eta} \sum_{\varphi=1}^{r_\alpha} \lambda_{\alpha\varphi} Y_{\alpha\varphi 0} - \sum_{\alpha=1}^{\eta} \sum_{\beta=1}^{\eta} \sum_{\varphi=1}^{r_\alpha} \sum_{\omega=1}^{r_\beta} \lambda_{\alpha\varphi} \lambda_{\beta\omega} Y_{\alpha\varphi\beta\omega}$$

$$\begin{aligned} E(\epsilon(x_0) - \lambda' \epsilon)^2 &= 2 \sum_{\alpha=1}^{\eta} \lambda'_\alpha Y_{\alpha 0} - \sum_{\alpha=1}^{\eta} \sum_{\beta=1}^{\eta} \lambda'_\alpha Y_{\alpha\beta} \lambda_\beta \\ &= 2\lambda'_0 \Sigma_0 - \lambda' \Sigma \lambda \quad \dots \dots \dots (6) \end{aligned}$$

إذ إن

الكوكرينك المشتركة الشامل للعملية العشوائية المكانية غير المراوحة مع تطبيق على . . .

$$\Sigma = \begin{pmatrix} \gamma_{11} & \gamma_{12} & \dots & \gamma_{1\eta} \\ \gamma_{21} & \gamma_{22} & \dots & \gamma_{2\eta} \\ \vdots & \ddots & \ddots & \vdots \\ \gamma_{\eta 1} & \gamma_{\eta 2} & \dots & \gamma_{\eta \eta} \end{pmatrix}, \Sigma_0 = \begin{pmatrix} \gamma_{10} \\ \gamma_{20} \\ \vdots \\ \gamma_{\eta 0} \end{pmatrix}, \gamma_{\alpha\beta} = (\gamma_{\alpha\varphi\beta\omega}), \gamma_{\alpha 0} = (\gamma_{\alpha\varphi 0})$$

$\forall \alpha, \beta = 1, 2, \dots, \eta, \varphi, \omega = 1, 2, \dots, r_\alpha$

$$\lambda = (\lambda_{11} \lambda_{12} \dots \lambda_{1r_1} \lambda_{21} \lambda_{22} \dots \lambda_{2r_2} \dots \dots \dots \lambda_{\eta 1} \lambda_{\eta 2} \dots \lambda_{\eta r_\eta})'$$

$$Z = (Z_1(x_1) Z_1(x_2) \dots Z_1(x_{r_1}) Z_2(x_1) \dots Z_2(x_{r_2}) \dots \dots \dots Z_\eta(x_1) \dots Z_\eta(x_{r_\eta}))'$$

للحصول على افضل مقدر للكوكرينك الشامل يجب ان يكون متوسط الخطأ التربعي له اصغر ما يمكن، ولذلك تكون معادلة لاكرانج ولتكن S مع شرط عدم التحيز (معادلة(5)) وكما يأتي:

$$S = 2\lambda' \Sigma_0 - \lambda' \Sigma \lambda + 2(\lambda' F - f') N \quad \dots \dots \dots (7)$$

إذ إن N هو متوجه مضاعفات لاكرانج لجميع المتغيرات $\eta, \alpha = 1, 2, \dots, r_\alpha$ أي أن

$$N = (N_{11} N_{12} \dots N_{1r_1} N_{21} N_{22} \dots N_{2r_2} \dots \dots \dots N_{\eta 1} N_{\eta 2} \dots N_{\eta r_\eta})'$$

$$\begin{aligned} \text{سعة المصفوفة } \Sigma \text{ هي } & (\sum_{\alpha=1}^{\eta} r_\alpha \times \sum_{\alpha=1}^{\eta} r_\alpha) \\ \text{وسعه كل من } \Sigma_0 \text{ و } \lambda \text{ و } Z \text{ هي } & (\sum_{\alpha=1}^{\eta} r_\alpha \times 1) \\ \text{إن سعة كل من } N \text{ و } f \text{ هي } & (\sum_{\alpha=1}^{\eta} r_\alpha \times 1 \times \sum_{\alpha=1}^{\eta} r_\alpha) \end{aligned}$$

نشتق المعادلة S (معادلة (7)) بالنسبة الى λ ونساويها بالصفر وكما يأتي

$$\frac{\partial S}{\partial \lambda} = -2\Sigma \lambda + 2\Sigma_0 + 2FN = 0 \Rightarrow \Sigma \lambda = \Sigma_0 + FN \quad \dots \dots \dots (8)$$

$$\lambda = \Sigma^{-1} \Sigma_0 + \Sigma^{-1} FN \quad \dots \dots \dots (9)$$

نشتق S مرة اخرى بالنسبة الى N ونساوي المعادلة بالصفر

$$\frac{\partial S}{\partial N} = 2(\lambda' F - f') = 0 \Rightarrow \lambda' F = f' \quad \dots \dots \dots (10)$$

وهو مكافئ لشرط عدم التحيز المتمثل في المعادلة (5). انظر ، Dubrule (2003)

نعرض المعادلة (9) في المعادلة (10) ينتج

$$N' = (f' - \Sigma_0' \Sigma^{-1} F)(F' \Sigma^{-1} F)^{-1} \quad \dots \dots \dots (11)$$

نعرض المعادلة (11) في المعادلة (10) ينتج

$$\lambda = \Sigma^{-1} \Sigma_0 + \Sigma^{-1} F(F' \Sigma^{-1} F)^{-1}(f' - F' \Sigma^{-1} \Sigma_0) \quad \dots \dots \dots (12)$$

نعرض المعادلة (12) في المعادلة (2) نحصل على متباً الكوكريكن الشامل \hat{Z}_{uck}

$$\begin{aligned} \hat{Z}_{uck} &= \Sigma_0' \Sigma^{-1} Z \\ &+ (f' - \Sigma_0' \Sigma^{-1} F)(F' \Sigma^{-1} F)^{-1} F' \Sigma^{-1} Z \end{aligned} \quad \dots \dots \dots (13)$$

نضرب المعادلة (8) بـ λ' من جهة اليسار ونعرضها في المعادلة (6) وبموجب المعادلة (10) نحصل على:

$$\begin{aligned} \sigma_{uck}^2 &= \lambda' \Sigma_0 - \lambda' F N \\ &= \lambda' \Sigma_0 - \lambda' F N \end{aligned} \quad \dots \dots \dots (14)$$

نعرض عن N و λ (المعرفتين في المعادلتين (11) و (9)) في المعادلة (15) ونحصل

$$\sigma_{uck}^2 = \left(\Sigma_0' \Sigma^{-1} + (f' - \Sigma_0' \Sigma^{-1} F)(F' \Sigma^{-1} F)^{-1} F' \Sigma^{-1} \right) (\Sigma_0 - F(F' \Sigma^{-1} F)^{-1}(f - F' \Sigma^{-1} \Sigma_0)) \quad \dots \dots \dots (15)$$

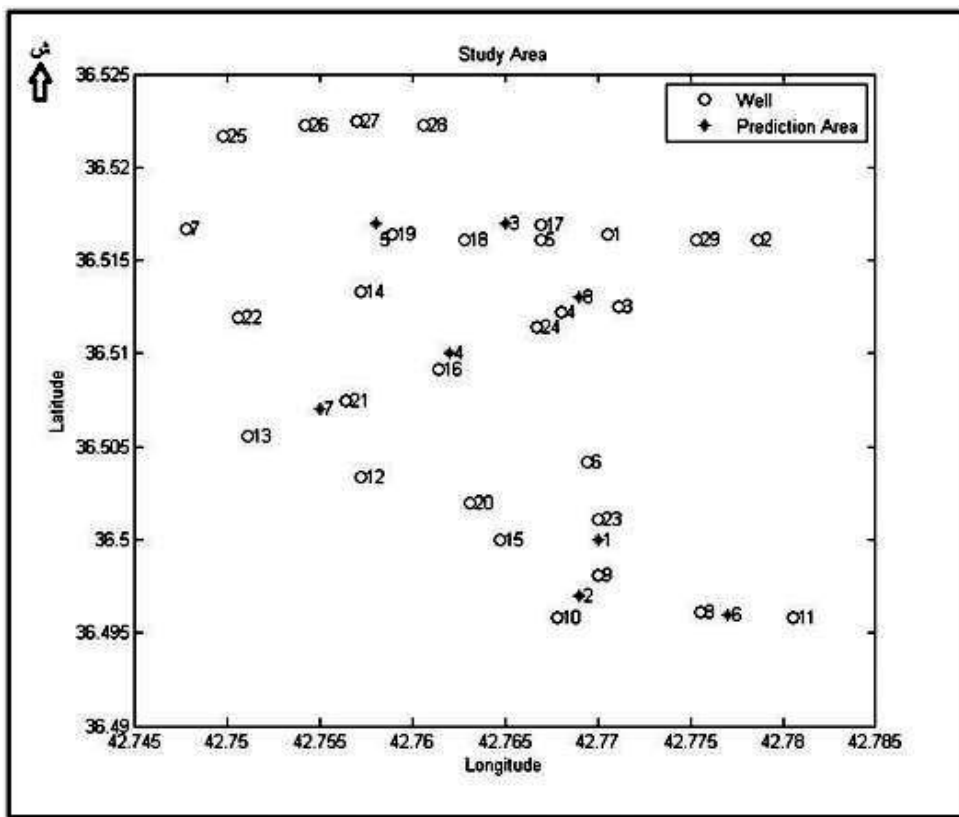
3-العرض التطبيقي Application Representation

لقد أحيايت عدة تنبؤات مكانية للظاهرة المكانية غير المراوحة من خلال تطبيقنا لأسلوب الكوكريكن الشامل Universal Cokriging باستعمال بيانات حقيقة لأبار مياه جوفية (29 بئر) في ناحية وانة في نينوى / العراق . والمنطقة تقع بين خطى طول $-42^{\circ}47'10''$ و $-42^{\circ}44'25''$ ودائرة عرض $36^{\circ}32'11''$ - $36^{\circ}29'15''$ مساحتها $22.3 km^2$ ، تضمنت البيانات مستوى ارتفاع المياه Elevation of Water كمتغير ثانوي والذي يؤثر على مستوى المياه في الابار ، كذلك تشمل البيانات على احداثيات الطول واحاديث العرض لكل بئر والتي اعتمدتني حساب مصفوفة المسافات بين الابار. اخذت البيانات من رسالة ماجستير (انظر ، العبادي (2010)). وفيما يأتي جدول بيانات المتغيرين مع احداثيات المواقع:

جدول (1): البيانات و مواقعها في منطقة الدراسة

ن	الموقع		عمق البئر (متر)	مستوى ارتفاع الماء (متر)
	احاديث العرض	احاديث الطول		
W 1	$36^{\circ}30'59''$	$42^{\circ}46'14''$	245	238.5
W 2	$36^{\circ}30'58''$	$42^{\circ}46'43''$	246	239.4
W 3	$36^{\circ}30'45''$	$42^{\circ}46'16''$	241	237.4
W 4	$36^{\circ}30'44''$	$42^{\circ}46'05''$	242	238.3
W 5	$36^{\circ}30'58''$	$42^{\circ}46'01''$	243	239
W 6	$36^{\circ}30'15''$	$42^{\circ}46'10''$	247	241.2
W 7	$36^{\circ}31'00''$	$42^{\circ}44'52''$	248	241.3
W 8	$36^{\circ}29'46''$	$42^{\circ}46'32''$	237	234.6
W 9	$36^{\circ}29'53''$	$42^{\circ}46'12''$	238	235
W 10	$36^{\circ}29'45''$	$42^{\circ}46'4''$	239	235.7
W 11	$36^{\circ}29'45''$	$42^{\circ}46'50''$	240	236.1

W 12	$36^{\circ}30'12''$	$42^{\circ}45'26''$	241	237.4
W 13	$36^{\circ}30'20''$	$42^{\circ}45'04''$	241	237.8
W 14	$36^{\circ}30'48''$	$42^{\circ}45'26''$	243	239.8
W 15	$36^{\circ}30'00''$	$42^{\circ}45'53''$	241	237
W 16	$36^{\circ}30'33''$	$42^{\circ}45'41''$	242	237.9
W 17	$36^{\circ}31'01''$	$42^{\circ}46'01''$	247	240.6
W 18	$36^{\circ}30'58''$	$42^{\circ}45'46''$	248	241.2
W 19	$36^{\circ}30'59''$	$42^{\circ}45'32''$	248	241.3
W 20	$36^{\circ}30'07''$	$42^{\circ}45'47''$	242	237
W 21	$36^{\circ}30'27''$	$42^{\circ}45'23''$	242	238.5
W 22	$36^{\circ}30'43''$	$42^{\circ}45'02''$	242	240
W 23	$36^{\circ}30'04''$	$42^{\circ}46'12''$	240	236.3
W 24	$36^{\circ}30'41''$	$42^{\circ}46'00''$	241	237.7
W 25	$36^{\circ}31'18''$	$42^{\circ}44'59''$	250	241.5
W 26	$36^{\circ}31'20''$	$42^{\circ}45'15''$	249	241.4
W 27	$36^{\circ}31'21''$	$42^{\circ}45'25''$	249	241.4
W 28	$36^{\circ}31'20''$	$42^{\circ}45'38''$	249	241.3
W 29	$36^{\circ}30'58''$	$42^{\circ}46'31''$	245	237.7



شكل (1): موقع الابار في منطقة الدراسة

لحساب مصفوفة المسافات بين مواقع الابار يجب تحويل احداثيات الطول والعرض من صيغتها اعلاه الى الصيغة العشرية المكافئة لها باستعمال العلاقة الموضحة ادناه كما في المثال الاتي:

$$36^{\circ}30'59'' \Rightarrow 36 + \frac{30}{60} + \frac{59}{3600} = 36.51638$$

وهذا التحويل في الصيغة تم لكافة قيم الاحداثيات الموقع والتي تم استعمالها في F_1, F_2 لحساب المسافة على سطح الارض بين المواقع x_1, x_2 ، واستعمال العلاقة المثلثية الآتية

$$h(x_1, x_2) = 6378 \cos^{-1}(\sin(\phi_1)\sin(\phi_2) + \cos(\phi_1)\cos(\phi_2)\cos(\theta_1 - \theta_2))$$

$$x_1 = (\theta_1, \phi_1),$$

احداثيات الطول θ_1, θ_2 Longitude coordinate
 $x_2 = (\theta_2, \phi_2)$,

احداثيات العرض ϕ_1, ϕ_2 latitude coordinate

انظر، (Waller and Gotway 2004) يجب تحويل الاحداثيات من القياسالستيني الى القياس الدائري واستعمال العلاقة الموضحة ادناه كما في المثال الاتي:

$$(36.51638 * 22/7)/180 = 0.6376$$

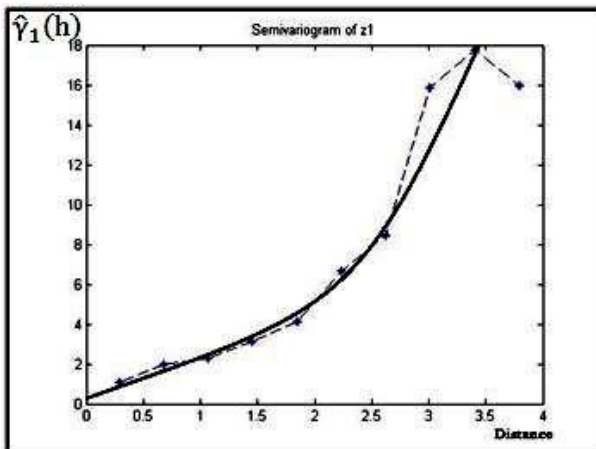
نستعمل المعادلة(4)لحساب الفاريوكرام لكلا المتغيرين (h)₁ و (h)₂ وكذلك نستعمل المعادلة

(3) لحساب الفاريوكرام المقاطع بين المتغيرين (h)₁₂

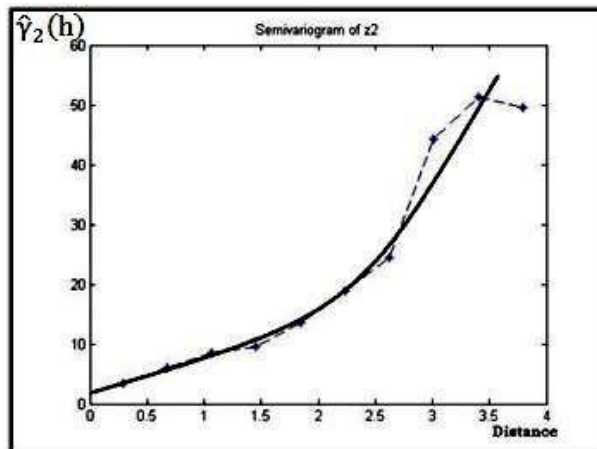
بعد حساب المسافة لجميع مواقع المشاهدات مع بعضها البعض ثم ترتيب المسافات (من اقل قيمة الى اكبر قيمة) وتقسيمها الى عشرة فئات وحساب عدد المشاهدات التي تبعد عن بعضها البعض بمسافة معينة (مراكز الفئات) وذلك لحساب الفاريوكرامورسماها ضمن كل فئة للمتغيرات وكانت النتائج كما في الجدول الآتي:

جدول (2): النتائج الحسابية لدالة الفاريوكرام

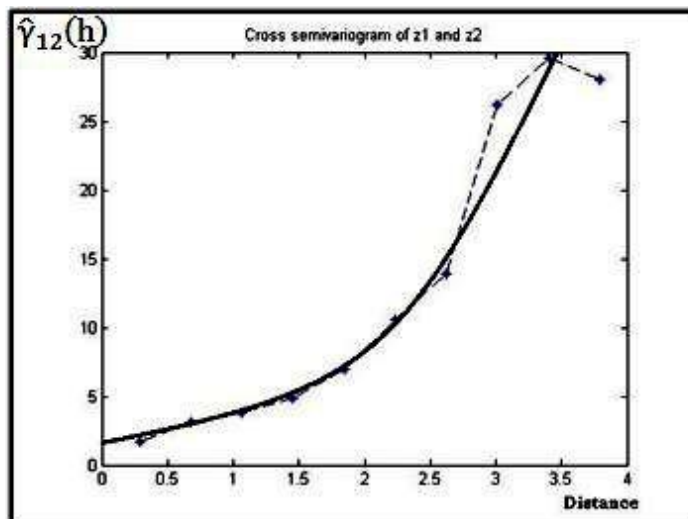
الفئات	h حدود الفئات	مراكز الفئات h	عدد الأزواج $r(h)$			
الفئة الأولى	0.092-0.482	0.287	23	1.105	3.500	1.745
الفئة الثانية	0.482-0.871	0.676	61	1.961	6.139	3.093
الفئة الثالثة	0.871-1.260	1.066	69	2.289	8.550	3.821
الفئة الرابعة	1.260-1.650	1.455	73	3.155	9.575	4.878
الفئة الخامسة	1.650-2.039	1.844	74	4.117	13.675	6.997
الفئة السادسة	2.039-2.428	2.234	53	6.671	18.811	10.568
الفئة السابعة	2.428-2.818	2.623	27	8.428	24.462	13.866
الفئة الثامنة	2.818-3.207	3.012	15	15.865	44.366	26.176
الفئة التاسعة	3.207-3.596	3.402	6	17.771	51.250	29.608
الفئة العاشرة	3.596-3.986	3.791	5	15.999	49.500	28.070



شكل (2): منحنى دالة شبه الفاريوكرام لبيانات مستويات مياه الابل



شكل (3): منحنى دالة شبه الفاريوكرام لبيانات عمق الابل



شكل (4): منحنى دالة تبیه الفاریوکرام المتقاطع لبيانات مستويات الآبار وعمقها

نلاحظ في نماذج الفاريوکرام أعلاه أن قيم الفاريوکرام غير مرادحة عند مستوى معين (مستمرة في الزيادة) ، وهذا يتطلب تطبيق الكوكريكن المشتركة الشامل لوجود الاتجاه في منطقة الدراسة. كذلك نستعمل عند التنبؤ انموذج فاريوکرام القوى Power Model للمتغير الاولى (مستويات مياه البئر) والمتغير الثاني (عمق البئر) وكذلك للفاريوکرام المتقاطع Cross variogram بين المتغيرين ، انظر (Soares et al. 2008) وكما يأتي:

$$\gamma(h) = \psi_0 + k h^\Omega , \quad 0 \leq \Omega < 2 , \quad k \text{ is constant}$$

حيث ان ψ_0 قيمة النكت Nugget Effect . انظر ، Rivoird et al. (2000) P. 21

وعليه ستكون نماذج الفاريوکرام المستعملة في التنبؤ هي مشابهة لأنموذج القويبوكاما يأتي:

$$\text{انموذج الفاريوکرام لمستويات مياه الآبار (المتغير الاولى)} \quad \gamma_1(h) = 0.355 + h^{1.5}$$

$$\text{انموذج الفاريوکرام لعمق البئر (المتغير الثاني)} \quad \gamma_2(h) = 2.8 + h^{1.2}$$

$$\text{انموذج الفاريوکرام المتقاطع لمستوى مياه البئر وعمق البئر} \quad \gamma_{12}(h) = 1.8 + h^{1.2}$$

إذ إن 0.355 و 2.8 و 1.8 هي قيمة النكت و 1.5 و 1.2 و 1.2 هي مقدار القوة في نماذج فاريوکرام المتغيرات Z_1 (مستويات مياه البئر) و Z_2 و (عمق البئر) Z_{12} (بيانات فاريوکرام التقاطع) على التوالي.

نكون مصفوفة الفاريوکرام الكلية Σ لجميع موقع المتغيرات مع بعضها البعض ومصفوفة الفاريوکرام الكلية Σ_0 لجميع موقع المتغيرات مع الموقع المراد التنبؤ عنه وكما يأتي:

$$\Sigma = \begin{pmatrix} \gamma_1 & \gamma_{12} \\ \gamma_{21} & \gamma_2 \end{pmatrix} = \begin{pmatrix} 0.355 + h^{1.5} & 1.8 + h^{1.2} \\ 1.8 + h^{1.2} & 2.8 + h^{1.2} \end{pmatrix}, \quad \Sigma_0 = \begin{pmatrix} \gamma_{10} \\ \gamma_{20} \end{pmatrix} = \begin{pmatrix} 0.355 + h^{1.5} \\ 2.8 + h^{1.2} \end{pmatrix}$$

و h هي المسافة بين موقعين. وبموجب البيانات الموضحة في جدول (1) تكون سعة المصفوفة γ_1 هي (29×29) وسعة γ_2 هي (29×29) وسعة $\gamma_{12} = \gamma_{21}$ هي (29×29) ، وكذلك سعة كل من (المتجهين) γ_{10} ، γ_{20} هي (29×29) .

ومتجه الدوال العشوائية Z المعرف في المعادلة (1) هو

$$Z = \begin{pmatrix} \text{بيانات عمق مستويات مياه البئر} \\ \text{مياه الابار} \end{pmatrix} = (238.5 \quad 239.4 \quad 237.7 \quad 245 \quad 246 \quad \dots \dots \quad 245)$$

و مصفوفة التصميم F سعة (58×6) ستكون كما يأتي

$$F = \begin{pmatrix} F_1 & O_{12} \\ O_{21} & F_2 \end{pmatrix}, F_1 = F_2 = \begin{pmatrix} 1 & 0.7467 & 0.637587 \\ 1 & 0.7469 & 0.637582 \\ \vdots & \vdots & \vdots \\ 1 & 0.74686 & 0.637582 \end{pmatrix}_{(29 \times 3)}, O_{12} = O_{21} = (0)_{(29 \times 3)}$$

نلاحظ ان $F_2 = F_1$ و $O_{12} = O_{21}$ (كذلك $\gamma_{12} = \gamma_{21}$ في مصفوفة Σ في اعلاه) وذلك لأن موضع المتغير الاولى Z_1 (مستويات مياه البئر) هي نفسها موضع المتغير الثانوي Z_2 (عمق البئر).

تم التتبؤ عن مستويات مياه البئر (متغير أول وعمق البئر متغيرا ثانياً) في موضع المشاهدات الحقيقة المعلومة القياس وذلك بتطبيقنا للمعادلة (13) لحساب القيم التتبؤية \hat{Z}_{uck} والمعادلة (15) لحساب تباين الكوكريكن الشامل الشامل s_{uck}^2 ، والجدول (3) يبين القيم التتبؤية للكوكريكن الشامل للمستويات مياه البئر وتباين الكوكريكن الشامل لها وكذلك تم حساب مجموع الأوزان لكلا المتغيرين الذي يتضمنه شرط عدم التحيز المعرف في المعادلة (5).

جدول (3): القيم التتبؤية للمشاهدات المعلومة القياس

T	Z	\hat{Z}_{uck}			
W 1	238.5	238.499	0.3550000027	1	0.0000
W 2	239.4	239.400	0.3550000011	1	0.0000
W 3	237.4	237.400	0.3550000028	1	0.0000
W 4	238.3	238.300	0.3549999994	1	0.0000
W 5	239	239.000	0.3550000014	1	0.0000
W 6	241.2	241.200	0.3550009254	1	0.0000
W 7	241.3	241.299	0.3550000015	1	0.0000
W 8	234.6	234.600	0.3550000009	1	0.0000
W 9	235	235.000	0.3550009249	1	0.0000
W 10	235.7	235.700	0.3550000022	1	0.0000
W 11	236.1	236.100	0.3550000004	1	0.0000
W 12	237.4	237.399	0.3550000026	1	0.0000
W 13	237.8	237.799	0.3550000004	1	0.0000
W 14	239.8	239.800	0.3550000001	1	0.0000
W 15	237	237.000	0.3549999998	1	0.0000
W 16	237.9	237.900	0.3549999991	1	0.0000
W 17	240.6	240.599	0.3550000007	1	0.0000
W 18	241.2	241.200	0.3550000004	1	0.0000
W 19	241.3	241.300	0.3550000012	1	0.0000

W 20	237	237.000	0.3550000010	1	0.0000
W 21	238.5	238.500	0.3550000008	1	0.0000
W 22	240	240.000	0.3549999997	1	0.0000
W 23	236.3	236.299	0.3550000011	1	0.0000
W 24	237.7	237.700	0.3549999996	1	0.0000
W 25	241.5	241.500	0.3550000003	1	0.0000
W 26	241.4	241.400	0.3550000002	1	0.0000
W 27	241.4	241.400	0.3550000007	1	0.0000
W 28	241.3	241.299	0.3550000017	1	0.0000
W 29	237.7	237.700	0.354999999	1	0.0000

نلاحظ ان النتائج في الجدول اعلاه ذات دقة كبيرة إذ إن القيم التنبؤية \hat{Z}_{uck} قريبة جداً من قيم المشاهدات الحقيقية $Z_{الموجود}$ في منطقة الدراسة مما يدل على دقة تنبؤ الكوكر يكنك الشامل كذلك صغر تباين الكوكر يكنك الشامل σ_{uck}^2 ، ايضاً نلاحظ أن مجموع الأوزان $\lambda_1' \mathbf{1}_{29}$ للمتغير الأولي (مستويارتفاع الماء في البئر) هو 1 ومجموع الأوزان $\lambda_2' \mathbf{1}_{29}$ للمتغير الثاني (عمق البئر) قريبة جداً من 0 عند كل المواقع التنبؤية وهذا هو ما يتضمنه شرط عدم التحيز للكوكر يكنك الشامل والمعرف في المعادلة (5). فمن اختيار موقع غير مقاسة لكي تكون مواقع غير ديد التنبؤ فيها عن مستوىارتفاع الماء في الابار (المتغير الأولي) بمساعدة بياناتعمق البئر (المتغير الثاني) ، تم التنبؤ في هذا البحث عن مستويات مياه الابار في ثمانية مواقع مختارة اعتباطياً ضمن منطقة الدراسة، وذلك بتطبيقنا للمعادلة (13). وكانت النتائج كما موضحة في ادناه في الجدول (4).

جدول (4): التنبؤ عن مستويات مياه الابار

ت	موقع التنبؤ				$\lambda_2' \mathbf{1}_{29}$	0.000
	احاديث العرض	احاديث الطول				
1	$(36^\circ 30' 00'') = 36.5$	$(42^\circ 46' 12'') = 42.77$	235.657	0.391	1	0.000
2	$(36^\circ 29' 49.2'') = 36.497$	$(42^\circ 46' 08.4'') = 42.769$	235.292	0.391	1	0.000
3	$(36^\circ 31' 01.1'') = 36.517$	$(42^\circ 45' 53.9'') = 42.765$	240.915	0.405	1	0.000
4	$(36^\circ 30' 35.9'') = 36.51$	$(42^\circ 45' 43.2'') = 42.762$	238.022	0.397	1	0.000
5	$(36^\circ 31' 01.1'') = 36.517$	$(42^\circ 45' 28.7'') = 42.758$	241.338	0.401	1	0.000
6	$(36^\circ 29' 45.5'') = 36.496$	$(42^\circ 46' 37.2'') = 42.777$	235.006	0.401	1	0.000
7	$(36^\circ 30' 25.1'') = 36.507$	$(42^\circ 45' 18'') = 42.755$	238.309	0.407	1	0.000
8	$(36^\circ 30' 46.8'') = 36.513$	$(42^\circ 46' 08.4'') = 42.769$	237.907	0.390	1	0.000

تم حساب تباين خطأ التنبؤ (تباین الكوکر يكنك الشامل σ_{uck}^2) في الموقع اعلاه لمستويات مياه الابار من المعادلة (15). وقد أظهرت النتائج أن تباين الكوکر يكنك الشامل الشامل σ_{uck}^2 صغير جداً مما يدل على دقة التنبؤ، كذلك دقة متباين الكوکر يكنك الشامل \hat{Z}_{uck} في الموقع المذكورة ضمن منطقة الدراسة من خلال التقارب الكبير لقيمة التنبؤية مع القيم الحقيقة القريبة منها.

كذلك نلاحظ أن مجموع الأوزان 1_{29}^1 المستوى الماء في البئر هو أومجموع الأوزان 1_{29}^2 العمق البؤري قريبة جدا من 0 عند كل المواقع التقوية الثمانية وهذا هو ما يتضمنه شرط عدم التحيز.

4 - الاستنتاجات والتوصيات:

- (1) الكوكريكن الشامل يعطي نتائج دقيقة وهذا ما تم ملاحظته عند التنبؤ في الواقع المعلومة القياس ، لأنه يأخذ بنظر الاعتبار المتغيرات الثانوية التي تؤثر في عملية التنبؤ .
- (2) وجود اتجاه للظاهرة المكانية المدروسة (ابار ناحية وانة) وذلك لأن قيم دالة الفاريوكرام المحسوبة غير مراوحة عند مقدار معين.
- (3) استعمال احداثيات الطول والعرض للموقع وتحويلها الى الصيغة العشوائية عند اجراء عملية التنبؤ تعطي نتائج ذات دقة كبيرة كما هو ملاحظ في الجدول (3).
- (4) يمكننا اجراء عملية التنبؤ على جميع المتغيرات اي انه في الوقت الذي نعتبر فيه متغير ما ثانويا يمكننا اعتبار هذا المتغير الثانوي متغيرا اساسيا (أولي) لإجراء التنبؤ عنه والمتغيرات الأخرى ثانوية.
- (5) من الافضل اخذ عدد اكثرب من المتغيرات الثانوية المساعدة التي تؤثر في عملية التنبؤ عند توفر البيانات، مثلا: مسامية البئر ، نفاذية البئر ، قطر البئر...الخ . والتي تزيد من دقة التنبؤ وحسب طبيعة الظاهرة المكانية المدروسة.

المصادر:

- [1] العبادي ، ضياء محسن احمد (2010) ، "تموزج هيدروجيولوجي لمنطقة وانة / شمال العراق" ، رسالة ماجستير (غير منشورة) ، كلية العلوم - جامعة الموصل.
- [2] العكيدى ، علي محمود جمعة (2012) ، "التنبؤ المشترك للعملية العشوائية المكانية بالتطبيق على بيانات آبار منطقة بعشيقه من حيث الخواص الفيزيائية" ، رسالة ماجستير (غير منشورة) ، كلية التربية - جامعة الموصل.
- [3] الياس ، ماهر جوزيف (2008) ، "التنبؤ عن العملية العشوائية المكانية غير المستقرة مع التطبيق" ، رسالة ماجستير (غير منشورة) ، كلية التربية - جامعة الموصل.
- [4] Chiles, J. P. and Delfiner, P. (1999), "Geostatistics: Modeling Spatial Uncertainty", Wiley and Sons, New York, USA.
- [5] Dubrule, O. (2003), "Geostatistics for Seismic Data Integration in Earth Models", Society of Exploration Geophysicists, USA.
- [6] Diggle, P. J. and Ribeiro, P. J. (2007), "Model-based Geostatistics", Springer Series in Statistics ,New York, USA.

- [7] Memarsadeghi, N. (2004), "Cokriging Interpolation", M.SC. theses (published), college Park, university of Maryland,Maryland, USA.
- [8] Rivoird, J. ,J. Simmonds, K.G. Foote, P. Fernandes and N. Bez (2000), "Geostatistics for Estimating Fish Abundance", Blackwell Science Ltd, London, England.
- [9] Soares, A., M. J. Pereira and R. Dimitrakopoulos (2008), "Geo ENV VI – Geostatistics for Environmental Applications", Springer, Lisbon, Portugal.
- [10] Waller, A. and C. A. Gotway (2004), "Applied Spatial Statistics for Public Health Data", John Wiley & Sons, Hoboken, New Jersey, USA.
- [11] Webster, R. and M. A. Oliver (2007), "Geostatistics for Environmental Scientists", John Wiley & Sons, Chichester, West Sussex, England.

الملاحق

ملاحظة: جميع الخوارزميات تمت برمجتها بلغة نظام الماتلاب اصدار 7.12
(1) برنامج رسم دوال شبه الفاريوكرام للمتغيرات

```
%%%%%%%
% برنامج لحساب قيم دالة شبه الفاريوكرام مع الرسم %
clc
clear
format long
%%%%%%%
% الادخالات %%%%%%
z1=[238.5;239.4;237.4;238.3;239;241.2;241.3;234.6;235;235.7;23
6.1;237.4;237.8;239.8;237;237.9;240.6;241.2;241.3;237;238.5;24
0;236.3;237.7;241.5;241.4;241.4;241.3;237.7];
z2=[245;246;241;242;243;247;248;237;238;239;240;241;241;243;
241;242;247;248;248;242;242;242;240;241;250;249;249;245]
;
u1=[30;30;30;30;30;30;31;29;29;29;29;30;30;30;30;30;31;30;30;3
0;30;30;30;31;31;31;31;30];
u2=[59;58;45;44;58;15;00;46;53;45;45;12;20;48;00;33;01;58;59;0
7;27;43;04;41;18;20;21;20;58];
v1=[46;46;46;46;46;46;44;46;46;46;46;45;45;45;45;45;46;45;45;4
5;45;46;46;44;45;45;46];
v2=[14;43;16;05;1;10;52;32;12;04;50;26;04;26;53;41;01;46;32;47;
23;02;12;00;59;15;25;38;31];
%%%%% تحويل من نظام الاحداثيات الى الصيغة العشرية %%%
e=size(u1);
e=e(1,1);
for i=1:e
```

```
u(i)=36+(((u1(i)*60+u2(i))/3600));
v(i)=42+(((v1(i)*60+v2(i))/3600));
end
%%%%% تعين موقع الابار على منطقة الدراسة %%%
%(احاديث العرض) u احاديث الطول) والاحداثي العمودي) v الاحداثي الافقى %
figure(1)
plot(v,u,'+', 'LineWidth',1.5, 'MarkerEdgeColor','k')
text(v(1),u(1),' 1');
text(v(2),u(2),' 2');
text(v(3),u(3),' 3');
text(v(4),u(4),' 4');
text(v(5),u(5),' 5');
text(v(6),u(6),' 6');
text(v(7),u(7),' 7');
text(v(8),u(8),' 8');
text(v(9),u(9),' 9');
text(v(10),u(10),' 10');
text(v(11),u(11),' 11');
text(v(12),u(12),' 12');
text(v(13),u(13),' 13');
text(v(14),u(14),' 14');
text(v(15),u(15),' 15');
text(v(16),u(16),' 16');
text(v(17),u(17),' 17');
text(v(18),u(18),' 18');
text(v(19),u(19),' 19');
text(v(20),u(20),' 20');
text(v(21),u(21),' 21');
text(v(22),u(22),' 22');
text(v(23),u(23),' 23');
text(v(24),u(24),' 24');
text(v(25),u(25),' 25');
text(v(26),u(26),' 26');
text(v(27),u(27),' 27');
text(v(28),u(28),' 28');
text(v(29),u(29),' 29');
%%%%% تحويل الاحاديث من القياس الستيني الى القياس الدائري %
u=(u*22/7)/180;
v=(v*22/7)/180;
%%%%% حساب مصفوفة المسافات بين مواقع الابار %
for i=1:e
    for j=1:e
```

الكواكب المشترك الشامل للعملية العشوائية المكانية غير المراوحة مع تطبيق على. . .

```
h(i,j)=(6378)*(acos(sin(u(i))*sin(u(j))+cos(u(i))*cos(u(j))*cos(v(i)-v(j))));  
zz1(i,j)=z1(i)-z1(j);  
zz2(i,j)=z2(i)-z2(j);  
end  
end  
%%%%% حساب المسافة العظمى بين بئرين مع تسلسلهما  
ma=h(1,2);  
k=0;  
for i=1:e-1  
    for j=i+1:e  
        k=k+1;  
        if h(i,j)> ma  
            ma=h(i,j);  
            max=[i j];  
            maximum=[ma max];  
        end  
    end  
end  
%%%%% حساب المسافة الصغرى بين بئرين مع تسلسلهما  
mi=h(1,2);  
k=0;  
for i=1:e-1  
    for j=i+1:e  
        k=k+1;  
        if h(i,j)< mi  
            mi=h(i,j);  
            min=[i j];  
            minimum=[mi min];  
        end  
    end  
end  
%%%%% حساب قيم دالة شبه الفاريوكرام حسب 10 فئات  
m=10;  
r=ma-mi;  
l=r/m;  
h1=h;  
for s=1:10  
    k1(s,1)=mi+s*l;  
    kk=1;  
    zzz1(s,1)=0;  
    zzz2(s,1)=0;
```

```

zzz12(s,1)=0;
for i=1:e-1
    for j=i+1:e
        if h1(i,j)<=k1(s,1)
            mm(s,kk)=h(i,j);
            h1(i,j)=2*ma;
            zzz1(s,1)=zzz1(s,1)+ zz1(i,j)^2;
            zzz2(s,1)=zzz2(s,1)+ zz2(i,j)^2;
            zzz12(s,1)=zzz12(s,1)+ zz1(i,j)*zz2(i,j);
            qq1(s,1)=(1/(2*kk))*zzz1(s,1);
            qq2(s,1)=(1/(2*kk))*zzz2(s,1);
            qq12(s,1)=(1/(2*kk))*zzz12(s,1);
        kk=kk+1;
    end
    n(s,1)=kk-1;
end
hh(s,1)=k1(s)-(l/2);
end
%%%%% رسم دالة شبه الفاريogram
figure(2)
plot(hh,qq1,'--*')
title ('Semivariogram of z1')
figure(3)
plot(hh,qq2,'--*')
title ('Semivariogram of z2')
figure(4)
plot(hh,qq12,'--*')
title ('Cross semivariogram of z1 and z2')

```

2) برنامج التنبؤ لمستوى الماء في الابار عند المواقع المعلومة القياس

```

% برنامج التنبؤ لمستويات المياه في الابار عند مواقع المشاهدات الحقيقية المعلومة القياس
clc
clear
format long
%%%%% الادخالات %%%%%%
z1=[238.5;239.4;237.4;238.3;239;241.2;241.3;234.6;235;235.7;23
6.1;237.4;237.8;239.8;237;237.9;240.6;241.2;241.3;237;238.5;24
0;236.3;237.7;241.5;241.4;241.4;241.3;237.7];
z2=[245;246;241;242;243;247;248;237;238;239;240;241;241;243;
241;242;247;248;248;242;242;240;241;250;249;249;245];
;
```

الكواكب المشتركة الشامل للعملية العشوائية المكانية غير المراوحة مع تطبيق على . . .

```
u1=[30;30;30;30;30;31;29;29;29;30;30;30;30;31;30;30;30;30;30;30;30;3  
0;30;30;30;31;31;31;31;30];  
u2=[59;58;45;44;58;15;00;46;53;45;45;12;20;48;00;33;01;58;59;0  
7;27;43;04;41;18;20;21;20;58];  
v1=[46;46;46;46;46;44;46;46;46;46;45;45;45;45;45;45;46;45;45;45;  
45;45;46;46;44;45;45;46];  
v2=[14;43;16;05;1;10;52;32;12;04;50;26;04;26;53;41;01;46;32;47;  
23;02;12;00;59;15;25;38;31];  
%%%%% تحويل من نظام الاحداثيات الى الصيغة العشرية %%%  
%(احداثيات العرض) u احداثيات الطول) والاحداثي العمودي) v الاحداثي الافقى %  
e=size(u1);  
e=e(1,1);  
for i=1:e  
    u(i)=36+(((u1(i)*60+u2(i))/3600));  
    v(i)=42+(((v1(i)*60+v2(i))/3600));  
end  
%%%%% تحويل الاحداثيات من القياس الستيني الى القياس الدائري %%%  
u=(u*22/7)/180;  
v=(v*22/7)/180;  
%%%%% ادخال قيم النكت %%%  
r1=0.355;  
r2=2.8;  
r3=1.8;  
%%%%% حساب التنبؤ %%%  
u=u';  
v=v';  
O=[v u];  
O1=ones(e,1);  
E1=[O1 O];  
E2=zeros(e,1);  
E11=[O1;E2];  
E22=[E2;O1];  
zL1=[z1;z2];  
E=[E1 E2 E2 E2;E2 E2 E2 E1];  
for b=1:e  
    u0(b)=u(b);  
    v0(b)=v(b);  
    f=[1;v0(b);u0(b);0;0;0];  
    for i=1:e  
        h0(i,1)=(6378)*(acos(sin(u(i))*sin(u0(b))+cos(u(i))*cos(u0(b))*cos(  
v(i)-v0(b))));  
        c10(i,1)=r1+((h0(i,1))^1.5);  
        c20(i,1)=r2+((h0(i,1))^1.2);
```

```

for j=1:e
h(i,j)=(6378)*(acos(sin(u(i))*sin(u(j))+cos(u(i))*cos(u(j))*cos(v(i)-
v(j)));
c1(i,j)=r1+((h(i,j))^1.5);
c2(i,j)=r2+((h(i,j))^1.2);
c3(i,j)=r3+((h(i,j))^1.2);
end
end
c=[c1 c3;c3 c2];
c01=[c10;c20];
z(b,1)=z1(b);
LL=(c^(-1))*(c01-E*((E'*(c^(-1))*E)^(-1))*(E'*(c^(-1))*c01-f));
ZL1(b,1)=c01'*((c^(-1))*zL1+(f'-c01'*(c^(-1))*E)*((E'*(c^(-1))*E)^(-1))*
E'*(c^(-1))*zL1;
QL1(b,1)=(c01'*(c^(-1))+(f'-c01'*(c^(-1))*E)*((E'*(c^(-1))*E)^(-1))*
E'*(c^(-1)))*(c01-E*((E'*(c^(-1))*E)^(-1))*(f-E'*(c^(-1))*c01));
o(b,1)=LL'*E11;
oo(b,1)=LL'*E22;
ez(b,1)=abs(z(b,1)-ZL1(b,1));
end
zqo1=[z1 ZL1 ez QL1 o oo]

```

.....
(3) برنامج التنبؤ لمستويات المياه في الابار لثمانية مواقع ضمن منطقة الدراسة

% برنامج التنبؤ لمستويات المياه في الابار عند 8 مواقع ضمن منطقة الدراسة %

```

clc
clear
format long
%%%%%%%
z1=[238.5;239.4;237.4;238.3;239;241.2;241.3;234.6;235;235.7;23
6.1;237.4;237.8;239.8;237;237.9;240.6;241.2;241.3;237;238.5;24
0;236.3;237.7;241.5;241.4;241.4;241.3;237.7];
z2=[245;246;241;242;243;247;248;237;238;239;240;241;241;243;
241;242;247;248;248;242;242;240;241;250;249;249;249] ;
u1=[30;30;30;30;30;30;31;29;29;29;29;29;30;30;30;30;30;31;30;30;3
0;30;30;30;31;31;31;31;30];
u2=[59;58;45;44;58;15;00;46;53;45;45;12;20;48;00;33;01;58;59;0
7;27;43;04;41;18;20;21;20;58];
v1=[46;46;46;46;46;46;44;46;46;46;46;46;45;45;45;45;45;46;45;45;4
5;45;46;46;44;45;45;46];
v2=[14;43;16;05;1;10;52;32;12;04;50;26;04;26;53;41;01;46;32;47;
23;02;12;00;59;15;25;38;31];
%%%%% تحويل من نظام الاحداثيات الى الصيغة العشرية %%%%

```

% (احداثيات العرض) u احداثيات الطول) والاحداثي العمودي) v الاحداثي الافقى %
e=size(u1);
e=e(1,1);
for i=1:e
 u(i)=36+(((u1(i)*60+u2(i))/3600));
 v(i)=42+(((v1(i)*60+v2(i))/3600));
end
%%%%%%%%% احداثيات موقع التنبؤ %%%
u01=[30;29;31;30;31;29;30;30];
u02=[00;49.2;01.1;35.9;01.1;45.5;25.1;46.8];
v01=[46;46;45;45;45;46;45;46];
v02=[12;08.4;53.9;43.2;28.7;37.2;18;08.4];
e1=size(u01);
e1=e1(1,1);
for i=1:e1
 u0(i,1)=36+(((u01(i)*60+u02(i))/3600));
 v0(i,1)=42+(((v01(i)*60+v02(i))/3600));
end
figure(1)
plot(v,u,'+',v0,u0,'*r')
text(v(1),u(1),' 1');
text(v(2),u(2),' 2');
text(v(3),u(3),' 3');
text(v(4),u(4),' 4');
text(v(5),u(5),' 5');
text(v(6),u(6),' 6');
text(v(7),u(7),' 7');
text(v(8),u(8),' 8');
text(v(9),u(9),' 9');
text(v(10),u(10),' 10');
text(v(11),u(11),' 11');
text(v(12),u(12),' 12');
text(v(13),u(13),' 13');
text(v(14),u(14),' 14');
text(v(15),u(15),' 15');
text(v(16),u(16),' 16');
text(v(17),u(17),' 17');
text(v(18),u(18),' 18');
text(v(19),u(19),' 19');
text(v(20),u(20),' 20');
text(v(21),u(21),' 21');
text(v(22),u(22),' 22');
text(v(23),u(23),' 23');

```

text(v(24),u(24),' 24');
text(v(25),u(25),' 25');
text(v(26),u(26),' 26');
text(v(27),u(27),' 27');
text(v(28),u(28),' 28');
text(v(29),u(29),' 29');
text(v0(1),u0(1),' 1');
text(v0(2),u0(2),' 2');
text(v0(3),u0(3),' 3');
text(v0(4),u0(4),' 4');
text(v0(5),u0(5),' 5');
text(v0(6),u0(6),' 6');
text(v0(7),u0(7),' 7');
text(v0(8),u0(8),' 8');
title ('Study Area')

%%%% تحويل الاحداثيات من القياس الستيني الى القياس الدائري %%
u=(u*22/7)/180;
v=(v*22/7)/180;
u0=(u0*22/7)/180;
v0=(v0*22/7)/180;
%%%%% ادخال قيم النكت %%%%%%
r1=0.355;
r2=2.8;
r3=1.8;
%%%%% حساب التنبؤ %%%%%%
u=u';
v=v';
O=[v u];
O1=ones(e,1);
E1=[O1 O];
E2=zeros(e,1);
E11=[O1;E2];
E22=[E2;O1];
zL1=[z1;z2];
E=[E1 E2 E2 E2;E2 E2 E2 E1];
ee=size(u0);
ee=ee(1,1);
for b=1:ee
f=[1;v0(b);u0(b);0;0;0];
for i=1:e
h0(i,1)=(6378)*(acos(sin(u(i))*sin(u0(b))+cos(u(i))*cos(u0(b)))*cos(
v(i)-v0(b)));
c10(i,1)=r1+((h0(i,1))^1.5);

```

الكتور يكذلك المشتركة الشامل للعملية العشوائية المكانية غير المرادحة مع تطبيق على . . .

```
c20(i,1)=r2+((h0(i,1))^1.2);
for j=1:e
h(i,j)=(6378)*(acos(sin(u(i))*sin(u(j))+cos(u(i))*cos(u(j))*cos(v(i)-
v(j)));
c1(i,j)=r1+((h(i,j))^1.5);
c2(i,j)=r2+((h(i,j))^1.2);
c3(i,j)=r3+((h(i,j))^1.2);
end
end
c=[c1 c3;c3 c2];
c01=[c10;c20];
LL=(c^(-1))*(c01-E*((E'*(c^(-1))*E)^(-1))*(E'*(c^(-1))*c01-f));
ZL1(b,1)=c01'*(c^(-1))*zL1+(f'-c01'*(c^(-1))*E)*((E'*(c^(-1))*E)^(-
1))*E'*(c^(-1))*zL1;
QL1(b,1)=(c01'*(c^(-1))+(f'-c01'*(c^(-1))*E)*((E'*(c^(-1))*E)^(-
1))*E'*(c^(-1)))*(c01-E*((E'*(c^(-1))*E)^(-1))*(f-E'*(c^(-1))*c01));
o(b,1)=LL'*E11;
oo(b,1)=LL'*E22;
end
zqo1=[ZL1 QL1 o oo]
```